

УДК 539.3.01

НАПРЯЖЕННОЕ СОСТОЯНИЕ ПОЛОСЫ
С КОНЕЧНЫМ ЧИСЛОМ КРУГОВЫХ ОТВЕРСТИЙ
И СООТВЕТСТВУЮЩАЯ ПЕРИОДИЧЕСКАЯ ЗАДАЧА ДЛЯ
ПЛОСКОСТИ

МИРОНЕНКО Н. И.

Рассматривается напряженное (симметричное относительно обеих осей) состояние полосы с конечным числом круговых отверстий, центры которых расположены на поперечной оси полосы. Предлагается единый подход к решению всех основных задач для полосы, что позволяет получить потенциалы Колосова – Мусхелишвили для этих задач в одном и том же виде. Последнее обстоятельство существенно при реализации задач на ЭВМ.

Частным случаем одной из задач для полосы является некоторая периодическая задача для плоскости с бесконечным рядом круговых отверстий (в основном периоде содержится конечное число отверстий).

Напряженное состояние полосы с двумя одинаковыми круговыми отверстиями, центры которых расположены на поперечной оси полосы, изучалось ранее (при заданных напряжениях) в [1, 2]. В [3] рассмотрен чистый изгиб такой же полосы.

1. Связем с изучаемой полосой комплексную плоскость $z=x+iy$ (см. фигуру). Пусть полоса ослаблена $2N+1$ круговым отверстием радиуса R_j ($j=-N, N$). Центры отверстий определяются параметрами $b_j=ic_j$. Причем в силу симметрии задачи $R_{-j}=R_j$, $c_{-j}=-c_j$, $b_{-j}=-b_j$, $b_0=c_0=0$, $j=1, N$.

В направлении оси x полоса растягивается напряжением $N_x=\text{const}$. По граням полосы $y=\pm a$ заданы нормальное ($Y_y=N_y+Y_{ya}$, $N_y=\text{const}$) и касательное ($X_y=X_{ya}$) напряжения, удовлетворяющие условиям

$$Y_{ya}(-x)=Y_{ya}(x), \quad X_{ya}(-x)=-X_{ya}(x) \quad (1.1)$$

$$\int_0^\infty |X_{ya}(x)| dx < \infty, \quad \int_0^\infty |Y_{ya}(x)| dx < \infty$$

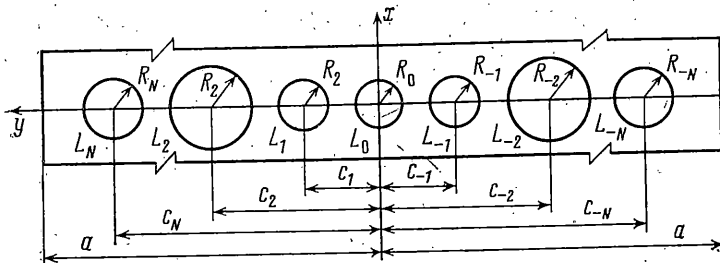
На контурах отверстий заданы напряжения или перемещения, или на одной части контуров – напряжения, а на другой – перемещения.

Введем потенциалы Колосова – Мусхелишвили $\varphi_0(z)$, $\psi_0(z)$. Тогда граничные условия можно записать

$$\varphi_0'(t) + \overline{\varphi_0'(t)} + t\overline{\varphi_0''(t)} + \overline{\psi_0'(t)} = N_y + Y_{ya} - iX_{ya} \quad (t=x\pm ia) \quad (1.2)$$

$$\chi_j * \varphi_0(t) + t\overline{\varphi_0'(t)} + \overline{\psi_0(t)} = \sum_{k=-\infty}^{\infty} \gamma_{kj} \left(\frac{t-b_j}{R_j} \right)^k \quad (t \in L_j, \pm j = \overline{0, N}) \quad (1.3)$$

Если на L_j заданы напряжения, то $\chi_j^* = 1$. При заданных на L_j перемещениях $\chi_j^* = -\chi$. Если же на одной части контуров заданы напряжения, а на другой – перемещения, то кроме этого должны выполняться соотношения $\chi_{-j}^* = \chi_j^*$. Предполагается, что главные векторы и главные моменты напряжений на контурах равны нулю. В этом случае γ_{0j} ($\pm j = 1, N$) неизвестны и определяются в процессе решения задачи, $\gamma_{00}=0$.



(см. (1.5)). В силу симметрии задачи для γ_{kj} справедливы следующие соотношения:

$$\gamma_{k,-j} = -\gamma_{kj} = -i\gamma_{kj}^* \quad (k=0, \pm 2, \pm 4, \dots; j=\overline{0, N}) \quad (1.4)$$

$$\gamma_{k,-j} = \gamma_{kj} = \gamma_{kj}^* \quad (k=\pm 1, \pm 3, \pm 5, \dots; j=\overline{0, N})$$

где γ_{kj}^* — действительные величины. При $j=0$ из (1.4) получаем

$$\gamma_{k0} = \gamma_{k0}^* = 0 \quad (\pm k=0, 2, 4, \dots), \quad \gamma_{k0} = \gamma_{k0}^* \quad (\pm k=1, 3, 5, \dots) \quad (1.5)$$

Искомые потенциалы $\phi_0(z)$ и $\psi_0(z)$ естественно представить в виде

$$\phi_0(z) = \Gamma z + \varphi(z) + \varphi_1(z) + \varphi_2(z), \quad \Gamma = (N_x + N_y)/4 \quad (1.6)$$

$$\psi_0(z) = \Gamma' z + \psi(z) + \psi_1(z) + \psi_2(z), \quad \Gamma' = -(N_x - N_y)/2$$

Функции $\varphi(z)$, $\psi(z)$ являются аналитическими в сплошной полосе и определяются напряжениями $Y_{ya}(x)$, $X_{ya}(x)$ на гранях полосы. Используя теорию интегралов Фурье, эти функции можно представить в форме

$$\left. \begin{aligned} \varphi(z) \\ \psi(z) \end{aligned} \right\} = \mp i \int_{-\infty}^{\infty} \left\{ \frac{H_1(\mu)}{(1-i\lambda z)H_1(\mu) + 2H_2(\mu)} \right\} \exp(-i\lambda z) \frac{d\lambda}{\lambda} \quad (1.7)$$

$$H_1(\mu) = \frac{1}{\sqrt{2\pi}} \left\{ -T_s(\mu) Y_{ya}^*(\lambda) + iT_c(\mu) X_{ya}^*(\lambda) \right\}, \quad \mu = \lambda a \quad (1.8)$$

$$H_2(\mu) = \frac{1}{\sqrt{2\pi}} \left\{ [T_s(\mu) + \mu T_c(\mu)] Y_{ya}^*(\lambda) - i\mu T_c(\mu) X_{ya}^*(\lambda) \right\}$$

$$\left. \begin{aligned} Y_{ya}^*(\lambda) \\ X_{ya}^*(\lambda) \end{aligned} \right\} = \frac{1}{\sqrt{2\pi}} \int_{-\infty}^{\infty} \left\{ \begin{aligned} Y_{ya}(x) \\ X_{ya}(x) \end{aligned} \right\} \exp(i\lambda x) dx$$

$$T_s(\mu) = \operatorname{sh} \mu/S(\mu), \quad T_c(\mu) = \operatorname{ch} \mu/S(\mu), \quad S(\mu) = 2\mu + \operatorname{sh} 2\mu$$

Потенциалы $\varphi_1(z)$, $\psi_1(z)$ — также аналитические в сплошной полосе функции. Потенциалы $\varphi_2(z)$, $\psi_2(z)$ — функции аналитические вне отверстий. Для них справедливо представление Аппеля [4]:

$$\left. \begin{aligned} \varphi_2(z) \\ \psi_2(z) \end{aligned} \right\} = \sum_{j=-N}^N \sum_{k=1}^{\infty} \left\{ \begin{aligned} \alpha_{kj} \\ \beta_{kj} \end{aligned} \right\} \left(\frac{R_j}{z-b_j} \right)^k \quad (1.9)$$

В силу симметрии коэффициенты α_{kj} , β_{kj} удовлетворяют соотношениям, аналогичным (1.4), (1.5) для γ_{kj} (α_{kj}^* , β_{kj}^* — действительные величины):

$$\alpha_{k,-j} = \alpha_{kj} = \alpha_{kj}^*, \quad \beta_{k,-j} = \beta_{kj} = \beta_{kj}^* \quad (k=1, 3, 5, \dots; j=\overline{1, N})$$

$$\alpha_{k,-j} = -\alpha_{kj} = -i\alpha_{kj}^*, \quad \beta_{k,-j} = -\beta_{kj} = -i\beta_{kj}^* \quad (k=2, 4, 6, \dots; j=\overline{1, N})$$

$$\alpha_{k0} = \alpha_{k0}^* = \beta_{k0} = \beta_{k0}^* = 0 \quad (k=2, 4, 6, \dots)$$

$$\alpha_{k0} = \alpha_{k0}^*, \quad \beta_{k0} = \beta_{k0}^* \quad (k=1, 3, 5, \dots)$$

Подставляя (1.6), (1.7), (1.9) в (1.2) при $y=a$, приходим к краевой задаче для функций $\varphi_1(z)$, $\psi_1(z)$ — аналитических, как уже отмечалось, в сплошной полосе

(1.10)

$$\begin{aligned} \varphi_1'(t) + \overline{\varphi_1'(t)} + t\overline{\varphi_1''(t)} + \overline{\psi_1'(t)} = & \sum_{j=0}^N \left(1 - \frac{\delta_{0j}}{2}\right) \sum_{k=1}^{\infty} \frac{k}{R_j} \{ \alpha_{kj} t_{1j}^{k+1} + \right. \\ & + \bar{\alpha}_{kj} t_{2j}^{k+1} - \bar{v}_{kj} \bar{t}_{1j}^{k+1} - v_{kj} \bar{t}_{2j}^{k+1} - i(k+1) [(2/\varepsilon_j - 1/\varepsilon_{jj}) \bar{\alpha}_{kj} \bar{t}_{1j}^{k+2} + \\ & \left. + (2/\varepsilon_j + 1/\varepsilon_{jj}) \alpha_{kj} \bar{t}_{2j}^{k+2}] \} \\ t_{1j} \} = & \frac{R_j}{t+b_j}, \quad \varepsilon_j = \frac{R_j}{a}, \quad \varepsilon_{jn} = \frac{R_j}{c_n}, \quad v_{kj} = k\alpha_{kj} - \beta_{kj} \end{aligned}$$

где δ_{kj} — символ Кронекера, $t=x+ia$.

Решение задачи (1.10) дается формулами, аналогичными (1.7) с заменой в них $H_1(\mu)$ и $H_2(\mu)$ на $M_1(\mu)$ и $M_2(\mu)$ соответственно. Причем последние определяются выражениями

(1.11)

$$\begin{aligned} M_1(\mu) \} = & \frac{1}{S(\mu)} \sum_{j=0}^N \left(1 - \frac{\delta_{0j}}{2}\right) \sum_{k=1}^{\infty} \Pi_{kj}(\mu) \left\{ \alpha_{kj} * \left[\frac{(a_{kj}(\mu) - \right. \right. \right. \\ & \left. \left. \left. - 2\gamma_1(\mu)) \Gamma_{kj}^{(1)}(\mu) - 2\varepsilon_j * \mu \Gamma_{kj}^{(2)}(\mu) \right] + \beta_{kj} ** \Gamma_{kj}^{(3)}(\mu) \left[\frac{1}{-\gamma_1(\mu)} \right] \right\} (\mu > 0) \\ - 2) \] \Gamma_{kj}^{(1)}(\mu) + 2\varepsilon_j * \mu \gamma_1(\mu) \Gamma_{kj}^{(2)}(\mu) \right] + \beta_{kj} ** \Gamma_{kj}^{(3)}(\mu) \left[\frac{1}{-\gamma_1(\mu)} \right] \} \quad (\mu > 0) \end{aligned}$$

$$\begin{aligned} \Gamma_{kj}^{(1)}(\mu) \} = & \cos k \frac{\pi}{2} \operatorname{sh} \varepsilon_j * \mu \mp \sin k \frac{\pi}{2} \operatorname{ch} \varepsilon_j * \mu, \quad \Pi_{kj}(\mu) = \frac{\varepsilon_j^k \mu^k}{(k-1)!} \\ \Gamma_{kj}^{(2)}(\mu) = & \sin k \frac{\pi}{2} \operatorname{sh} \varepsilon_j * \mu - \cos k \frac{\pi}{2} \operatorname{ch} \varepsilon_j * \mu, \quad a_{kj}(\mu) = k+1 + \frac{\varepsilon_j^2 \mu^2}{k+1} \end{aligned}$$

$$\beta_{kj} ** = (-1)^{k+1} \beta_{kj} * - (k-1) \alpha_{k-1,j}^* / \varepsilon_{jj} + (-1)^k (k-2) \alpha_{k-2,j}^*$$

$$2\gamma_1(\mu) = 1 + 2\mu - \exp(-2\mu), \quad \varepsilon_j^* = c_j/a, \quad \alpha_{-1,j}^* = \alpha_{0j}^* = 0$$

Функции $M_1(\mu)$ и $M_2(\mu)$ — действительные, четные; выражения (1.11) для них справедливы только при $\mu > 0$.

2. Первые два потенциала в (1.6) определены полностью, последние два — с точностью до коэффициентов α_{kj}^* , β_{kj}^* . Для определения этих коэффициентов необходимо построить бесконечную систему линейных алгебраических уравнений. С этой целью подставим (1.6), (1.7), (1.9) и формулы для $\varphi_1(z)$ и $\psi_1(z)$ (аналогичные (1.7)) в (1.3) при $j=n$ ($n=\overline{0, N}$) и приравняем выражения при одинаковых степенях $(t-b_n)/R_n$ слева и справа. Это приводит к уравнению для γ_{0j} ($j=\overline{1, N}$), которое не выписываем, и к требуемой системе

$$\kappa_n^* \alpha_{sn}^* + \sum_{j=0}^N \sum_{k=1}^{\infty} (E_{1kj}^{sn} \alpha_{kj}^* + E_{2kj}^{sn} \beta_{kj}**) = \gamma_{-s,n}^* - \delta_{s1} \Gamma' R_n + \delta_{sn}^* \quad (2.1)$$

$$\beta_{sn}** + \sum_{j=0}^N \sum_{k=1}^{\infty} (F_{1kj}^{sn} \alpha_{kj}^* + F_{2kj}^{sn} \beta_{kj}**) = \gamma_{sn}^* - \delta_{s1} \kappa_n \Gamma R_n + \delta_{sn}^*$$

$(j, n=\overline{0, N}; s=\overline{1, \infty}; k=1, 3, 5, \dots, \text{если } j=0; s=1, 3, 5, \dots, \text{если } n=0)$

$$\begin{aligned}
E_{1kj}^{sn} &= ke_{1s}[C_{k+s+1}^s H_{kj}^{sn} - (-1)^k C_{k+s} G_{kj}^{sn}] - \varepsilon_{jn}^{ks} \int_0^\infty S_{hs}(\mu) J_{1kj}(\mu) d\mu \\
C_k^s &= \frac{k!}{s!(k-s)!}, \quad E_{2kj}^{sn} = e_{1s} C_{k+s-1} G_{kj}^{sn} + \varepsilon_{jn}^{ks} \int_0^\infty S_{hs}(\mu) J_{2kj}(\mu) d\mu \\
F_{1kj}^{sn} &= (-1)^k \chi_{ns} e_{2s} C_{k+s-1}^s G_{kj}^{sn} + \chi_{ns} \varepsilon_{jn}^{ks} \int_0^\infty S_{hs}(\mu) J_{2sn}(\mu) d\mu \\
F_{2kj}^{sn} &= -\chi_{ns} \varepsilon_{jn}^{ks} \int_0^\infty S_{hs}(\mu) \Gamma_{kj3}^{sn3}(\mu) d\mu \\
\delta_{sn}^* &= 2 \frac{\varepsilon_n^s}{s!} \int_0^\infty \mu^{s-1} \{H_1(\mu) [a_{sn}(\mu) \Gamma_{sn}^{(1)}(\mu) - 2\varepsilon_n^* \mu \Gamma_{sn}^{(2)}(\mu)] + \\
&\quad + 2H_2(\mu) \Gamma_{sn}^{(1)}(\mu)\} d\mu \quad (2.2) \\
\delta_{sn}^{**} &= 2\chi_{ns} \frac{\varepsilon_n^s}{s!} \int_0^\infty \mu^{s-1} H_1(\mu) \Gamma_{sn}^{(3)}(\mu) d\mu, \quad \chi_{ns} = \chi_n^* + \delta_{s1} \\
H_{kj}^{sn} &= e_{2k} G_{1kj}^{sn} h_{1kj}^{sn} - e_{1k} G_{2kj}^{sn} h_{2kj}^{sn}, \quad G_{kj}^{sn} = e_{1k} G_{1kj}^{sn} - e_{2k} G_{2kj}^{sn} \\
G_{1kj}^{sn} &= (1-\delta_{nj}) (\Pi_{jn}^{1j})^k (\Pi_{jn}^{1n})^s, \quad \varepsilon_{jn}^{ks} = (2-\delta_{0j}) \frac{\varepsilon_j^k \varepsilon_n^s}{(k-1)!s!} \\
G_{2kj}^{sn} &= (1-\delta_{0j}) (\Pi_{jn}^{2j})^k (\Pi_{jn}^{2n})^s, \quad S_{hs}(\mu) = \mu^{h+s-1}/S(\mu) \\
e_{1k} \} &= \cos k \frac{\pi}{2} \pm \sin k \frac{\pi}{2}, \quad h_{m kj}^{sn} = (\Pi_{jn}^{mj})^2 + \frac{k+1}{s+1} (\Pi_{jn}^{mn})^2 \\
e_{2k} \} &= \frac{\varepsilon_{jn}}{1 \mp \varepsilon_{jn}^*}, \quad \frac{\Pi_{jn}^{1n}}{\Pi_{jn}^{2n}} = \frac{\varepsilon_{nn}}{1 \mp \varepsilon_{jn}^*}, \quad \varepsilon_{jn}^* = \frac{c_j}{c_n} \\
\Pi_{jn}^{1j} \} &= \frac{\varepsilon_{jn}}{1 \mp \varepsilon_{jn}^*}, \quad \Pi_{jn}^{2j} \} = \frac{\varepsilon_{jn}}{1 \mp \varepsilon_{jn}^*}, \quad \varepsilon_{jn}^* = \frac{c_j}{c_n} \\
J_{1kj}^{sn}(\mu) &= \{4\mu^2 - 2\gamma_1(\mu) [a_{kj}(\mu) + a_{sn}(\mu) - 2] + a_{kj}(\mu) a_{sn}(\mu)\} \Gamma_{kj1}^{sn1}(\mu) + \\
&+ 2\varepsilon_n^* \mu \gamma_{kj}^{**}(\mu) \Gamma_{kj1}^{sn2}(\mu) + 2\varepsilon_j^* \mu \gamma_{sn}^{**}(\mu) \Gamma_{sn1}^{kj2}(\mu) + 4\varepsilon_j^* \varepsilon_n^* \mu^2 \Gamma_{kj2}^{sn2}(\mu) \\
J_{2kj}^{sn}(\mu) &= 2\varepsilon_n^* \mu \Gamma_{kj3}^{sn2}(\mu) + \gamma_{sn}^{**}(\mu) \Gamma_{kj3}^{sn1}(\mu) \\
\Gamma_{kjp}^{snq}(\mu) &= \Gamma_{kj}^{(p)}(\mu) \Gamma_{sn}^{(q)}(\mu), \quad \gamma_{kj}^{**}(\mu) = 2\gamma_1(\mu) - a_{kj}(\mu)
\end{aligned}$$

Отметим следующие соотношения, обеспечивающие аналогичные соотношения между симметричными коэффициентами матрицы системы (2.1), записанной в стандартной форме:

$$\frac{E_{1kj}^{sn}}{E_{1sn}^{kj}} = \frac{1}{\chi_{ns}} \frac{F_{1kj}^{sn}}{E_{2sn}^{kj}} = \frac{\chi_{jn}}{\chi_{ns}} \frac{F_{2kj}^{sn}}{F_{2sn}^{kj}} = \frac{k}{s} \frac{1+\delta_{0n}}{1+\delta_{0j}}$$

Квазирегулярность системы (2.1) доказывается сравнительно просто, поэтому не будем здесь останавливаться на этом вопросе.

Решая систему (2.1), находим коэффициенты α_{kj}^* и β_{kj}^{**} и тем самым полностью определяем потенциалы $\varphi_0(z)$ и $\psi_0(z)$. После этого напряже-

ния и перемещения находятся по известным формулам. В частности, для перемещений u , v , как известно, справедлива следующая формула: $2G(u+iv)=\varphi_0(z)-z\varphi'_0(z)-\psi_0(z)$. Подставляя сюда выражения (1.6), (1.7), (1.9) и формулы для $\varphi_i(z)$ и $\psi_i(z)$ аналогичные (1.7) (при $z=x+ia$), получим зависимость

$$2G(u+iv)=\Gamma^*x+i\Gamma^{**}a+i \int_{-\infty}^{\infty} \exp(i\lambda x) \left\{ W(\mu) + \right.$$

$$+ \sum_{j=0}^N \left(1 - \frac{\delta_{0j}}{2} \right) \sum_{k=1}^{\infty} W_{kj}(\mu) \left. \right\} \frac{d\mu}{\mu}, \quad \frac{\Gamma^*}{\Gamma^{**}} = (\kappa-1)\Gamma \mp \Gamma' \quad (2.3)$$

$$W(\mu) = \frac{\exp(\mu)}{\sqrt{2\pi}} [Y_{ya}^*(\mu) V_y(\mu) - i X_{ya}^*(\mu) V_x(\mu)]$$

$$V_x(\mu) = 2\mu T_s(\mu) - \omega_1(\mu) T_c(\mu), \quad V_y(\mu) = 2\mu T_c(\mu) - \omega_2(\mu) T_s(\mu)$$

$$W_{kj}(\mu) = \frac{\kappa+1}{S(\mu)} \exp(-\mu) \Pi_{kj}(\mu) \{ \alpha_{kj}^* [\exp(2\mu) \Omega_{kj}(\mu) \Gamma_{kj}^{(1)}(\mu) - \\ - 2\varepsilon_j^* \mu \Gamma_{kj}^{(2)}(\mu)] + \beta_{kj}^* \Gamma_{kj}^{(3)}(\mu) \}$$

$$\omega_1(\mu) = \omega_2(\mu) + 2 = \kappa \exp(-2\mu) + 2\mu + 1$$

$$\Omega_{kj}(\mu) = 1 + \exp(-2\mu) [a_{kj}(\mu) + 2\mu - 1]$$

Если во всех полученных формулах отбросить слагаемые, соответствующие $j=0$, то придем к случаю четного ($2N$) числа отверстий в полосе. При $N=1$ полоса будет ослаблена двумя одинаковыми отверстиями. Задача для такой полосы (при заданных напряжениях), как уже отмечалось, рассмотрена, в частности, в [2], где применялся метод ω -функции (метод Д. И. Шермана [5]).

Отметим следующий факт. И потенциалы $\varphi_0(z)$, $\psi_0(z)$, и системы уравнений для определения коэффициентов, входящих в потенциалы, в данной работе (в частном случае двух отверстий) и в [2] совпадают с точностью до обозначений. Поэтому численный анализ, проведенный в [2], является в то же время и иллюстрацией для этой работы в упомянутом частном случае полосы с двумя отверстиями.

3. Рассмотрим теперь такую задачу (симметричную относительно обеих осей; это же замечание относится и к следующим задачам): на контурах отверстий справедливо условие (1.3), а по граням полосы $y=\pm a$ заданы перемещения

$$u(x) = u_0 x + u_1(x), \quad u_0 = \text{const} \quad (3.1)$$

$$v(x) = v_0 a + v_1(x), \quad v_0 = \text{const}, \quad y=a$$

В силу симметрии задачи

$$u_1(-x) = -u_1(x), \quad v_1(-x) = v_1(x) \quad (3.2)$$

Будем считать функции $u_1(x)$ и $v_1(x)$ представимыми интегралами Фурье

$$\frac{u_1(x)}{v_1(x)} = \frac{1}{\sqrt{2\pi}} \int_{-\infty}^{\infty} \left\{ \frac{u_1^*(\lambda)}{v_1^*(\lambda)} \right\} \exp(-i\lambda x) d\lambda, \quad (3.3)$$

$$\frac{u_1^*(\lambda)}{v_1^*(\lambda)} = \frac{1}{\sqrt{2\pi}} \int_{-\infty}^{\infty} \left\{ \frac{u_1(x)}{v_1(x)} \right\} \exp(i\lambda x) dx$$

Для решения поставленной задачи предположим (временно), что по граням полосы и на бесконечности заданы напряжения. Такая задача решена в пп. 1, 2. Следовательно, для потенциалов $\Phi_0(z)$, $\Psi_0(z)$ будут справедливы формулы (1.6), а коэффициенты α_{kj}^* и β_{kj}^{**} будут определяться системой (2.4). Но в правые части этой системы входят неизвестные слагаемые δ_{sn}^* и δ_{sn}^{**} , так как последние (см. (2.2), (1.8)) выражаются через трансформанты $Y_{ya}^*(\mu)$ и $X_{ya}^*(\mu)$ напряжений на гранях полосы, а эти напряжения на самом деле неизвестны. Кроме того, неизвестны также N_x и N_y . Поэтому обращаемся к выражению (2.3), определяющему перемещения на верхней ($y=a$) грани полосы. Левая часть в этом выражении согласно (3.1) задана. Подставляя (3.1) и (3.3) в (2.3) и приравнивая между собой сначала действительные, а затем мнимые части (отдельно внеинтегральные и подынтегральные), получим одну систему для определения Γ , $\Gamma'(N_x, N_y)$:

$$\Gamma^* = 2Gv_0, \quad \Gamma^{**} = 2Gv_0 \quad (3.4)$$

а вторую — (выписать ее нетрудно) для определения Y_{ya}^* и X_{ya}^* . Решение последней системы позволяет выразить Y_{ya}^* и X_{ya}^* через α_{kj}^* и β_{kj}^{**} . Подставляя эти выражения в (1.8), (2.2), (2.4), получим требуемую систему для α_{kj}^* , β_{kj}^{**} . Эта система также квазирегулярна.

4. Рассмотрим следующую задачу: по граням полосы заданы касательное напряжение и вертикальное перемещение

$$X_y(x) = X_{ya}(x), \quad v(x) = v_0 a + v_1(x) \quad (y=a) \quad (4.1)$$

На контурах отверстий выполняются условия (1.3), а на бесконечности полоса растягивается напряжением $N_x = \text{const}$. Предполагаем, что для X_{ya} выполняются условия (1.1), а для v — условия (3.2), (3.3). Для решения задачи также необходимо предположить, что по граням заданы напряжения (одно из них (X_y) действительно задано ($X_y = X_{ya}$), поэтому заданной считается и трансформанта X_{ya}^*), и повторить рассуждения п. 3. В частности, в правую часть системы (2.1) входят теперь два неизвестных: N_y и Y_{ya}^* . Для их определения необходимо рассмотреть мнимую часть (2.3), так как именно она согласно (4.1) задана. Аналогично предыдущему получаем одно уравнение для N_y (см. второе уравнение в (3.4)) и одно — для Y_{ya}^* . Решение последнего такое:

$$Y_{ya}^*(\mu) = \frac{(\kappa-1)\sinh 2\mu - 4\mu}{2(\kappa+1)\sinh^2 \mu} iX_{ya}^*(\mu) + \frac{S(\mu)}{2(\kappa+1)\sinh^2 \mu} \times \\ \times [4G\lambda v_1^*(\lambda) + \exp(-\mu) W_1(-\mu) - \exp(\mu) W_1(\mu)] \\ W_1(\mu) = \sqrt{2\pi} \exp(-\mu) \sum_{j=0}^N \left(1 - \frac{\delta_{0j}}{2} \right) \sum_{k=1}^{\infty} W_{kj}(\mu) \quad (4.2)$$

Подставляя (4.2) и известное $X_{ya}^*(\mu)$ в (1.8), (2.2) и (2.4), получаем требуемую систему для α_{kj}^* , β_{kj}^{**} (и эта система квазирегулярна).

5. Несколько проще решается следующая периодическая по координате y задача для плоскости, являющаяся частным случаем только что рассмотренной. Пусть плоскость ослаблена бесконечным рядом круговых отверстий, центры которых расположены на оси y . Пусть этот ряд отверстий является периодическим и основной период содержит $2N+1$ отверстие. Далее предположим, что геометрия периода полностью совпадает с та-ковой для рассмотренной выше полосы. На бесконечности плоскость рас-тягивается напряжениями $N_x, N_y + Y_y^*(x, y)$:

$$\int_{-\infty}^{\infty} Y_y^*(x, y_0) dx = 2 \int_0^{\infty} Y_y^*(x, y_0) dx = 0, \quad y_0 = \text{const}$$

Выделим из этой плоскости полосу $|x| < \infty$, $|y| \leq a$ (основной период). Учитывая периодичность и симметрию задачи, выпишем граничные

условия для выделенной полосы $X_y(x)=0$, $Y_y(x)=N_y+Y_{ya}(x)$, $v(x)=v_0a=\text{const}$ ($y=a$), где v_0 и $Y_{ya}(x)=Y_{ya}^*(x, a)$ подлежат определению. На контурах отверстий пусть по-прежнему выполняются условия (1.3). Эта задача является, как уже отмечалось, частным случаем задачи (4.1) с тем различием, что здесь N_y задано, а v_0 необходимо определить, а в (4.1) — наоборот.

Полагая $X_{ya}^*(\mu)=v_1^*(\lambda)\equiv 0$ в рассуждениях п. 4, находим решение этой задачи. Причем v_0 определяется вторым уравнением (3.4), а для $Y_{ya}^*(\mu)$ из (4.2) получаем следующее выражение:

$$Y_{ya}^*(\mu)=\frac{\sqrt{2\pi}}{\sinh \mu} \sum_{j=0}^N \left(1-\frac{\delta_{0j}}{2}\right) \sum_{k=1}^{\infty} \Pi_{kj}(\mu) \{ \alpha_{kj}^* [(a_{kj}(\mu)-2\mu \operatorname{cth} \mu-2) \Gamma_{kj}^{(1)}(\mu) - 2e_j^* \mu \Gamma_{kj}^{(2)}(\mu)] + \beta_{kj}^{**} \Gamma_{kj}^{(3)}(\mu) \} \quad (5.1)$$

Подставляя (5.1) и $X_{ya}^*(\mu)\equiv 0$ в зависимости (1.8), а последние — в (2.2), имеем

$$\begin{aligned} \delta_{sn}^* &= \sum_{j=0}^N \sum_{k=1}^{\infty} (A_{1kj}^{sn} \alpha_{kj}^* + A_{2kj}^{sn} \beta_{kj}^{**}), \quad \delta_{sn}^{**} = \sum_{j=0}^N \sum_{k=1}^{\infty} (B_{1kj}^{sn} \alpha_{kj}^* + B_{2kj}^{sn} \beta_{kj}^{**}), \\ A_{1kj}^{sn} &= -e_{jn}^{-ks} \int_0^{\infty} S_{hs}(\mu) \Omega_{kj}^*(\mu) \Omega_{sn}^*(\mu) d\mu, \quad A_{2kj}^{sn} = e_{jn}^{-ks} \int_0^{\infty} S_{hs}(\mu) \Gamma_{kj}^{(3)}(\mu) \Omega_{sn}^*(\mu) d\mu, \\ B_{1kj}^{sn} &= \kappa_{ns} e_{jn}^{-ks} \int_0^{\infty} S_{hs}(\mu) \Gamma_{sn}^{(3)}(\mu) \Omega_{kj}^*(\mu) d\mu, \quad B_{2kj}^{sn} = F_{2kj}^{sn}, \\ \Omega_{kj}^*(\mu) &= [2(1+\mu \operatorname{cth} \mu) - a_{kj}(\mu)] \Gamma_{kj}^{(1)}(\mu) + 2e_j^* \mu \Gamma_{kj}^{(2)}(\mu) \end{aligned} \quad (5.2)$$

Используя (5.2) в (2.1), приходим к требуемой системе

$$\begin{aligned} \kappa_n^* \alpha_{sn}^* + \sum_{j=0}^N \sum_{k=1}^{\infty} \{ V_{1kj}^{sn} \alpha_{kj}^* + V_{2kj}^{sn} \beta_{kj}^{**} \} &= \gamma_{-s,n}^* - \delta_{sn} \Gamma' R_n \\ \beta_{sn}^{**} + \sum_{j=0}^N \sum_{k=1}^{\infty} \{ W_{1kj}^{sn} \alpha_{kj}^* + W_{2kj}^{sn} \beta_{kj}^{**} \} &= \gamma_{sn}^* - \delta_{sn} \kappa_{ns} \Gamma R_n \\ V_{1kj}^{sn} &= E_{1kj}^{sn} - A_{1kj}^{sn}, \quad V_{2kj}^{sn} = E_{2kj}^{sn} - A_{2kj}^{sn} \\ W_{1kj}^{sn} &= F_{1kj}^{sn} - B_{1kj}^{sn}, \quad W_{2kj}^{sn} = F_{2kj}^{sn} - B_{2kj}^{sn} = 0 \end{aligned}$$

Эта система, как и все предыдущие, квазирегулярна. Как видно, эта система несколько проще системы (2.1), так как коэффициенты $W_{2kj}^{sn}=0$.

Если отбросить в приведенных рассуждениях все слагаемые, соответствующие $j=0$, то придем к периодической задаче с четным числом отверстий в периоде.

Если в потенциалах $\phi_0(z)$, $\psi_0(z)$ (см. (1.6)) вторые и третьи слагаемые положить равными нулю, а в коэффициентах $E_{2kj}^{sn}, \dots, F_{1kj}^{sn}$ системы (2.1) отбросить интегральные слагаемые, то придем к случаю плоскости с конечным числом круговых отверстий. В полной аналогии с периодической задачей для плоскости здесь $F_{2kj}^{sn}=0$.

Если в рассмотренных задачах для полосы с четным ($2N$) числом отверстий $\tilde{Y}_y(x, 0)<0$, то полученные решения являются в то же время и решениями для полосы $|x|<\infty$, $0 \leq y \leq a$ с N отверстиями, лежащей на

абсолютно жестком гладком основании ($X_y=0$, $v=0$) и нагруженной соответствующим образом на верхней грани $y=a$ и на бесконечности.

Аналогично тому, как это сделано в [6], можно рассмотреть и задачу о действии двух абсолютно жестких штампов на рассматриваемую полосу.

ЛИТЕРАТУРА

1. Калоеров С. А., Михайлова Л. Е., Петренко Т. П. Напряженное состояние полосы с двумя круговыми отверстиями.— В сб.: Теоретическая и прикладная механика. Киев — Донецк: Вища шк., 1976; вып. 7, с. 88—96.
2. Мироненко Н. И. О напряженном состоянии полосы, ослабленной двумя одинаковыми круговыми отверстиями, расположеннымными в поперечном направлении.— ПММ, 1978, т. 42, вып. 5, с. 930—935.
3. Мироненко Н. И. Чистый изгиб полосы с двумя круговыми отверстиями.— В сб.: Прикладные проблемы прочности и пластичности. Горький: Изд-во Горьк. ун-та, 1978, вып. 8, с. 93—98.
4. Григорюк Э. И., Фильшинский Л. А. Перфорированные пластинки и оболочки. М.: Наука, 1970. 556 с.
5. Шерман Д. И. О напряжениях в весомой полу平面ости, ослабленной двумя круговыми отверстиями.— ПММ, 1951, т. 15, вып. 3, с. 297—316.
6. Мироненко Н. И. Об одной смешанной задаче для полосы с двумя круговыми отверстиями.— Изв. АН СССР. МТТ, 1983, № 6, с. 72—79.

Алма-Ата

Поступила в редакцию
22.IV.1985